



Gorgan University of Agricultural
Sciences and Natural Resources

Identification of anthocyanin compounds in 10 Grape Cultivars (*Vitis Vinifera L.*) By HPLC-DAD Method

Fatemeh Sadeghian¹, Esmaeil Seifi^{*2}, Seyyedeh Sanaz Ramezanpour³,
Seyed Alireza Salami⁴

1. Ph.D. Student, Dept. of Horticultural Sciences, Faculty of Plant Production, Gorgan University of Agricultural Sciences and Natural Resources, Gorgan, Iran. E-mail: fatemesadeghian66@gmail.com
2. Corresponding Author, Associate Prof., Dept. of Horticultural Sciences, Faculty of Plant Production, Gorgan University of Agricultural Sciences and Natural Resources, Gorgan, Iran. E-mail: esmaeilseifi@gau.ac.ir
3. Associate Prof., Dept. of Plant Breeding and Biotechnology, Faculty of Plant Production, Gorgan University of Agricultural Sciences and Natural Resources, Gorgan, Iran. E-mail: ramezanpours@gau.ac.ir
4. Associate Prof., Dept. of Horticultural Sciences, Faculty of Agricultural Sciences and Engineering, University of Tehran, Karaj, Iran. E-mail: asalami@ut.ac.ir

Article Info	ABSTRACT
Article type: Full Length Research Paper	Introduction and Objectives: Grapes are a significant source of phenolic compounds, Genetic factors primarily determine anthocyanins, and in grapes, skin color is a critical and influential factor in the large germplasm of grapes. Since about 250 cultivars of 800-1000 grape cultivars are grown in Iran, studying anthocyanin compounds in the available germplasm resources is crucial. Therefore, this study was carried out to investigate the profile and diversity of different polyphenolic and anthocyanin compounds in some colored grapevine cultivars (<i>V. vinifera L.</i>).
Article history: Received: 07.24.2022 Revised: 08.17.2022 Accepted: 09.11.2022	
Keywords: Antioxidant, Diversity, Malvidin, PCA, Total phenol	Materials and Methods: In this study the cultivars Flame, Crimson, Red Globe, Sahebi ghoochan, Ghare Shire, Sahebi Urmia, Syah Ghare Bagh, Rish baba, Flame seedless and Lale Bidane were investigated. The amount of phenol in the pulp was measured by the Folin-Ciocalteu method, and total flavonoids were measured by aluminum chloride calorimetry method. Total anthocyanin was measured with a spectrophotometer at 760 nm. The evaluation of the individual anthocyanin compounds was done by HPLC-DAD. Analysis of variance for all morphological traits was performed with the software IBM SPSS 26 using the one-way method ANOVA. The correlation among varieties, PCA analysis, and the scatter plot of the distribution according to PC1/PC2 were made with the statistical software SPSS. The distance values were calculated using the Euclidean method, and the dendrogram was generated using the UPGMA method of the NCSS statistical software (NCSS.12).
	Results: The percentage of total phenols, flavonoids, and anthocyanins in the berries of the studied cultivars were 48, 43, and 9, respectively. The results showed that the highest concentrations of total phenols were found in the cultivars "Crimson" (16.94 mg GAE/100 g), "Red Globe" (13.74 mg GAE/100 g), and "Flame" (13.58 mg GAE/100 g). The highest content of total flavonoids was found in "Flame" (36.47 mg 100 g ⁻¹) and "Red Globe" (10.05 mg 100g ⁻¹), also the highest content of anthocyanins was found in "Ghare Shire", "Syah Ghare Bagh", "Lale Bidane" and "Sahebi Urmia" with 6.09, 6.59, 3.58 and 2.01 mg kg ⁻¹ , respectively. Among the varieties studied, the lowest content of total anthocyanins, flavonoids, and phenol respectively was observed in "Flame" with 0.23 mg kg ⁻¹ and

“Syah Ghare Bagh” with 5.8 mg/kg, and in “Sahebi ghoochan” with 2.88 mg kg⁻¹. The composition of pelargonidin and its derivatives was not identified. The concentration of malvidin in “Flame” and “Red Globe” was trace and was not observed in “Sahebi Urmia” and “Lale Bidane”. The correlation results show that the highest positive and significant correlations were between delphinidin 6-acetyl glucoside and cyanidin 6-acetyl glucoside ($r=0.99$). Malvidin showed the highest correlation with delphinidin and petunidin. According to the dendrogram of cluster analysis of ten red cultivars for anthocyanins, they were divided into two main groups. The first group consisted of the two cultivars “Syah Ghare Bagh” and “Ghare Shire”, further away from the other eight cultivars of the second group.

Conclusion: The studied cultivars showed significant differences in the individual anthocyanin compounds and the amount of phenol, flavonoids, and total anthocyanins. According to the results, peonidin and malvidin had the highest concentrations in the studied cultivars; In “Syah Ghare Bagh”, the highest concentration of peonidin was found at 54.08 mg kg DW⁻¹, and in “Ghare Shire” malvidin with 42.78 mg kg DW⁻¹. In addition “Syah Ghare Bagh” and “Ghare Shire” had the highest total anthocyanin concentration. Consequently, these genotypes were located in a separate group by distance from most cultivars based on cluster analyses.

Cite this article: Sadeghian, Fatemeh, Seifi, Esmaeil, Ramezanpour, Seyyedeh Sanaz, Salami, Seyyed Alireza. 2023. Identification of anthocyanin compounds in 10 Grape Cultivars (*Vitis Vinifera L.*) By HPLC-DAD Method. *Journal of Plant Production Research*, 30 (1), 225-242.



© The Author(s).

DOI: 10.22069/JOPP.2022.20456.2956

Publisher: Gorgan University of Agricultural Sciences and Natural Resources

شناسایی ترکیبات آنتوسیانینی در ۱۰ رقم انگور (*Vitis vinifera L.*) با روش HPLC-DAD

فاطمه صادقیان^۱، اسماعیل سیفی^{۲*}، سیده ساناز رمضانپور^۳، سید علیرضا سلامی^۴

۱. دانشجوی دکتری گروه علوم باگبانی، دانشکده تولید گیاهی، دانشگاه علوم کشاورزی و منابع طبیعی گرگان، گرگان، ایران.
رایانامه: fatemesadeghian66@gmail.com
۲. نویسنده مسئول، دانشیار گروه علوم باگبانی، دانشکده تولید گیاهی، دانشگاه علوم کشاورزی و منابع طبیعی گرگان، گرگان، ایران.
رایانامه: esmaeilseifi@gau.ac.ir
۳. دانشیار گروه اصلاح نباتات و بیوتکنولوژی، دانشکده تولید گیاهی، دانشگاه علوم کشاورزی و منابع طبیعی گرگان، گرگان، ایران.
رایانامه: ramezanpours@gau.ac.ir
۴. دانشیار گروه علوم باگبانی، دانشکده علوم و مهندسی کشاورزی، دانشگاه تهران، کرج، ایران. رایانامه: asalami@ut.ac.ir

اطلاعات مقاله	چکیده
نوع مقاله:	مقاله کامل علمی-پژوهشی
تاریخ دریافت:	۱۴۰۱/۰۵/۰۲
تاریخ ویرایش:	۱۴۰۱/۰۵/۲۶
تاریخ پذیرش:	۱۴۰۱/۰۶/۲۰
سابقه و هدف:	انگور یا تاک (<i>Vitis vinifera L.</i>) منبع مهمی از ترکیبات فنولی و آنتوسیانینی بوده و این ترکیبات خاصیت آنتی اکسیدانی و ضدسرطانی قوی دارند. آنتوسیانین‌ها در درجه اول توسط عوامل ژنتیکی تعیین می‌شوند. رنگ پوست میوه در انگور، یک عامل مهم و مؤثر در شناسایی ژرمپلاسم غنی این گیاه و تحت تأثیر مقدار آنتوسیانین است. از آنجایی که حدود ۲۵۰ رقم از مجموع ۱۰۰۰-۸۰۰ ژنوتیپ انگور در ایران رشد می‌کنند، مطالعه ترکیبات آنتوسیانینی در منابع ژرمپلاسمی ضروری است. این مطالعه جهت بررسی تنوع ترکیبات پلی فنولی و آنتوسیانینی در ۱۰ رقم رنگی انگور انجام شد.

مواد و روش‌ها: در این پژوهش، ارقام فلیم، کریمسون، رد گلاب، صاحبی قوچان، قره‌شیره، صاحبی ارومیه، سیاه قره‌باغ، ریش‌بابا، فلیم سیدلیس و لعل بیدانه مورد بررسی قرار گرفتند. نمونه‌های انگور رنگی (قرمز و سیاه) زمانی برداشت شدند که مقدار قند آن‌ها در محدوده ۲۲-۱۹ بود و رنگ‌گیری کامل داشتند. میزان فنول کل در گوشت میوه با روش فولین سیوکالتلو انجام شد و از اسید گالایک به عنوان استاندارد استفاده گردید. اندازه‌گیری فلاونوئید کل با روش کالری‌متري آلومینیوم کلراید و تعیین مقدار آنتوسیانین پوست حبه به روش وانگر (۱۹۷۹) با کمک دستگاه اسپکتروفوتومتر در طول موج ۷۶۰ نانومتر انجام شد. اندازه‌گیری ترکیبات آنتوسیانینی در پوست حبه با روش HPLC-DAD انجام شد. تجزیه واریانس همه صفات ریخت‌شناسی توسط نرم‌افزار IBM SPSS 26 و با استفاده از ANOVA یک‌طرفه انجام شد.

واژه‌های کلیدی:
آنتی اکسیدان،
تنوع،
فنول کل،
مالویدین،
PCA

همبستگی ژنوتیپ‌ها و تجزیه PCA و نقشه پراکندگی بر طبق PC1/PC2، با استفاده از نرم‌افزار آماری SPSS رسم شد. مقادیر فاصله بر اساس روش اقلیدسی محاسبه و دندروگرام با استفاده از روش UPGMA توسط نرم‌افزار آماری NCSS12 تهیه شد.

یافته‌ها: نتایج نشان داد که بیشترین غلظت فنول کل به ترتیب مربوط به ژنوتیپ کریمسون ۱۶/۹۴ میلی‌گرم اسید گالیک بر ۱۰۰ گرم، رد گلوب (۱۳/۷۴ میلی‌گرم اسید گالیک بر ۱۰۰ گرم) و فلیم (۱۳/۵۸ میلی‌گرم اسید گالیک بر ۱۰۰ گرم) بود. در صورتی که، بیشترین مقدار فلاونوئید کل مربوط به رقم فلیم (۳۶/۴۷ میلی‌گرم بر ۱۰۰ گرم) و رد گلوب (۱۰/۰۵ میلی‌گرم بر ۱۰۰ گرم) و بیشترین مقدار آنتوسیانین کل در رقم سیاه قره‌باغ (۶/۵۶ میلی‌گرم بر کیلوگرم) و قره‌شیره (۶/۰۹ میلی‌گرم بر کیلوگرم) مشاهده شد. در بین ارقام مورد بررسی، کمترین میزان فنول کل در ژنوتیپ صاحبی قوچان با ۲/۸۸ میلی‌گرم اسید گالیک بر ۱۰۰ گرم، کمترین میزان فلاونوئید کل در ژنوتیپ قره‌شیره با ۴/۵۶ و همین‌طور کمترین میزان آنتوسیانین کل در رقم فیلم با ۰/۲۳ میلی‌گرم بر کیلوگرم دیده شد. مشتقات مالویدین (کفویل گلوکوزاید) و نیز پئونیدین و سیانیدین در ۱۰۰٪ نمونه‌ها وجود داشتند. غلظت مالویدین در ژنوتیپ فلیم و رد گلوب در حد جزیی بود و در صاحبی ارومیه و لعل بیدانه مشاهده نشد؛ همچنین، ترکیب پلارگونیدین و مشتقات آن شناسایی نشدند. بیشترین غلظت آنتوسیانین منفرد مربوط به پئونیدین و مالویدین بود. نتایج همچنین نشان داد که بیشترین همبستگی مثبت و معنی‌دار بین دلفینیدین - ۶ - استیل گلوکوزاید و سیانیدین - ۶ - استیل گلوکوزاید ($r=0.99$) بود. مالویدین بیشترین همبستگی را با دلفینیدین و پئونیدین نشان داد. بر اساس دندروگرام تجزیه خوش‌های، ۱۰ ژنوتیپ مورد مطالعه از نظر صفات آنتوسیانینی به دو گروه اصلی تقسیم شدند. گروه اول شامل دو رقم سیاه قره‌باغ و قره‌شیره بود که از گروه دوم فاصله داشتند.

نتیجه‌گیری: ارقام مورد مطالعه از نظر ترکیبات منفرد آنتوسیانینی و نیز میزان فنول، فلاونوئید و آنتوسیانین کل تفاوت‌های معنی‌داری نشان دادند. ترکیب پئونیدین و مالویدین بیشترین غلظت را در این ژنوتیپ‌ها داشتند. ژنوتیپ سیاه قره‌باغ و قره‌شیره بیشترین آنتوسیانین کل را نشان دادند. در رقم سیاه قره‌باغ، بیشترین غلظت پئونیدین (۵۴/۰۸ میلی‌گرم بر کیلوگرم) و در رقم قره‌شیره بیشترین غلظت مالویدین (۴۲/۷۸ میلی‌گرم بر کیلوگرم وزن خشک) شناسایی شدند. این دو رقم با فاصله از سایر ژنوتیپ‌ها در گروه مجزایی قرار گرفتند.

استناد: صادقیان، فاطمه، سیفی، اسماعیل، رمضانپور، سیده ساناز، سلامی، سید علیرضا (۱۴۰۲). شناسایی ترکیبات آنتوسیانینی در ۱۰ رقم انگور (Vitis vinifera L.) با روش HPLC-DAD. نشریه پژوهش‌های تولید گیاهی، ۳۰(۱)، ۲۴۲-۲۲۵.

DOI: 10.22069/JOPP.2022.20456.2956



© نویسنده‌گان.

ناشر: دانشگاه علوم کشاورزی و منابع طبیعی گرگان

مقدمه

مهم ارقام خاص انگور و محصولات آن است (۱۴). کیفیت خوش انگور و بازارپسندی آن تا حد زیادی به رنگ پوست وابسته است و همچنین کیفیت آبمیوه و محصولات فرآوری شده عمدتاً به دلیل رنگ پوست (۱۵) و ترکیب و محتوای آنتوسیانین‌ها تغییر می‌کند (۱۲، ۱۶ و ۱۷). ترکیب آنتوسیانین‌ها در درجه اول توسط عوامل ژنتیکی تعیین می‌شود. محتوای هر یک از آنتوسیانین‌ها در پوست انگور در هر رقم برای مدت معینی پایدار است و درصد آن از سالی به سال دیگر تفاوتی ندارد (۱۱ و ۱۸). در بلوبری (*Vaccinium spp.*) مقدار آنتوسیانین در یک ژنوتیپ رشد کرده در مناطق مختلف تفاوت زیادی نشان می‌دهد (۱۹). بنابراین، رنگ پوست یک عامل مهم در منابع ژرمپلاسم انگور است. مطالعه این ترکیبات سابقه طولانی دارد. ابتدا برای شناسایی آنتوسیانین‌ها، کروماتوگرافی کاغذی (PC) و کروماتوگرافی لایه نازک (TLC) استفاده می‌شد (۲۰). سپس کروماتوگرافی مایع با فشار بالا (HPLC) به محبوب‌ترین و پرکاربردترین تکنیک برای تجزیه و تحلیل آنتوسیانین‌ها تبدیل شد (۲۱ و ۲۲). از مزایای HPLC جداسازی قوی و قابلیت تشخیص فوری و حساسیت زیاد است و در چند دهه اخیر همراه طیفسنجی جرمی (۱۱، ۱۸ و ۲۳) و UHPLC-QqQ-MS (۲۴)، به یک ابزار مهم برای شناسایی آنتوسیانین تبدیل شده است.

در انگور، شاخص رسیدن بر اساس محتوای مواد محلول جامد، اسیدیته قابل تیتراسیون و پیاج تعیین می‌گردد (۲۲) و از طرفی بدین‌منظور از رسیدن فنولی استفاده می‌شود که آنتوسیانین‌ها، تانن‌ها و کل فنول را در نظر می‌گیرند (۱۲). چندین نوع آنتوسیانین از چند رقم گزارش شده‌اند (۱۱، ۲۵ و ۲۶) و به علت کاربردهای گسترده و رو به رشد این ترکیبات در صنایع نساجی، دارویی، بهداشتی، آرایشی و غذایی، مطالعات بیشتری در مورد ویژگی‌های آنتوسیانینی و

پلیفنول‌ها دارای طیف وسیعی از ساختارهای پیچیده هستند که سبب تشکیل رنگ، بو و طعم میوه‌ها و سبزیجات می‌شوند (۱). این ترکیبات در کاهش استرس اکسیداتیو سلول (۲ و ۳)، جلوگیری از آسیب DNA و ترمیم آن، کند کردن رشد و تکثیر سلول‌های سرطانی (۲ و ۴) و در بهبود بیماری‌های عروقی (۵)، میکروبی (۶ و ۷)، گوارشی (۸) و عملکرد سیستم ایمنی مؤثرند (۳ و ۴). محبوب‌ترین انواع پلیفنول‌های ضدسرطانی کاروتونوئیدها، فلاونوئیدها، ایزووفلانوئیدها، فنول‌ها، ایزوتوپیوسیانات‌ها و آنتوسیانین‌ها هستند (۲ و ۴). فراوان‌ترین ترکیبات مؤثر در رنگ اکثر میوه‌ها و سبزیجات آنتوسیانین‌ها می‌باشند (۲). شش نوع مختلف آنتوسیانین‌ها بسته به ساختار مولکولی عبارتند از: سیانیدین، دلفینیدین، پلارگونیدین، پئونیدین، پتونیدین و مالویدین (۹ و ۱۰). مشتقات مالویدین و پتونیدین بنفس، مشتقات پئونیدین و سیانیدین قرمز و مشتقات دلفینیدین آبی هستند و شدت رنگ آن‌ها بستگی به مقدار آنتوسیانین موجود در پوست انگور دارد (۱۱). انباست آنتوسیانین‌ها در انگور از مرحله رنگ‌گیری حبه یا دگرفامی^۱ شروع می‌شود (۱۲). تنها مشتقات ۳ مونوگلوكوزید آنتوسیانین‌ها در انگور وجود دارند (۱۱). در حالی که مشتقات مختلف ۳،۵-دی-گلیکوزید و نیز سایر ترکیبات فنولی در انگورهای مختلف ثبت شده است (۹)، ولی به نظر می‌رسد که این توزیع متأثر از عواملی مانند گونه، رقم، درجه رسیدگی و شرایط محیطی طی فصل رشد است (۱۲ و ۱۳).

بوته انگور، که به آن تاک نیز می‌گویند، منبع مهمی از آنتی‌اکسیدان‌ها مانند ترکیبات فنولی است که غلظت آن‌ها در هنگام رسیدن تغییر می‌کند (۱۲). هر گروه از خانواده پلیفنول مستقیماً مستحول ویژگی‌های

مواد و روش‌ها

آماده‌سازی نمونه‌ها: نمونه‌های مورد مطالعه از انگورهای رنگی (قرمز و سیاه) بودند بنابراین در زمان رنگ‌گیری کامل از سه منطقه ایران برداشت شدند (جدول ۱). نمونه‌ها پس از برداشت بالاصله به آزمایشگاه علوم باگبانی دانشگاه علوم کشاورزی و منابع طبیعی گرگان منتقل شدند. برای اندازه‌گیری آنتوسيانین، پوست حبه‌ها از گوشت جدا و به مدت ۴۸ ساعت در دستگاه خشککن انجمادی (Freeze-dryer Operon Co Ltd,) قرار گرفت و تا زمان اندازه‌گیری در فریزر -۸۰ درجه سانتی‌گراد نگهداری شد. اندازه‌گیری میزان آنتوسيانین‌ها در آزمایشگاه شیمی در دپارتمان DISAFA دانشگاه تورین ایتالیا انجام شد. برای حمل نمونه‌ها از یخ خشک استفاده شد.

در کل ترکیبات فلاونوئیدی در ژنوتیپ‌های مختلف انگور در مناطق مختلف ضروری است (۴۰). هم‌چنین ایران یازدهمین تولیدکننده انگور در جهان است و سطح زیر کشت آن در سال ۲۰۱۸ حدود ۱۶۵۰۹۷ هکتار بوده است (۲۹) و تخمین زده می‌شود که حدود ۲۵۰ رقم از مجموع ۱۰۰۰-۸۰۰ ژنوتیپ انگور در ایران رشد می‌کنند (۲۷ و ۲۸); بنابراین مطالعه ترکیبات آنتوسيانینی و محتوای آن‌ها در ژرمپلاسم ایرانی جنس ویتیس بسیار مهم است. این مطالعه با هدف بررسی تنوع ترکیبات منفرد آنتوسيانینی در برخی از ارقام رنگی انگور با استفاده از روش HPLC-DAD انجام شد. فنول، فلاونوئید و آنتوسيانین کل در ارقام بررسی شدند و تجزیه و تحلیل خوش‌های ارقام با توجه به ترکیبات آنتوسيانینی صورت گرفت.

جدول ۱- مختصات جغرافیایی مکان‌های مورد مطالعه، سن و فاصله کاشت ارقام مورد مطالعه.

Table 1. Geographical characteristics of vineyards, age and distance of planting of studied cultivars.

موقعیت در ایران Location in Iran	فاصله کاشت Distance of planting	سن Age	عرض جغرافیایی Latitude	طول جغرافیایی Longitude	ارتفاع از سطح دریا Altitude	ارقام Cultivars
شرق East	2x3	25	37°04'22.5"N	58°18'07.9"E	1458	صاحبی قوچان Sahebi Ghoochan
مرکز Center	2.5x3	15	35°46'20.3"N	50°56'49.3"E	1320	فلیم کریمسون Flame و رد گلوب Red globe
غرب West	1.5x3	20-25	37° 9' 30.3" N	45° 28' 4.11" E	1570	.Ghare shire صاحبی ارومیه Syah Gharebagh .Rish baba فلیم سیدلس Flame seedless و لعل بیدانه Lale bidane

(Correlation coefficient Pearson) رونتیپ‌ها تجزیه به مؤلفه‌ها (PCA) بر طبق PC1/PC2 و نقشه پراکندگی با استفاده از نرمافزار آماری SPSS صورت گرفت. میانگین پارامترها قبل از تجزیه و تحلیل خوش‌های نرمال شد تا از تأثیرات ایجاد مقیاس‌های مختلف جلوگیری شود. مقادیر فاصله بر اساس روش اقلیدسی محاسبه شد و دندروگرام با استفاده از روش UPGMA توسط نرمافزار آماری NCSS 12 رسم گردید.

نتایج و بحث

ترکیبات پلی‌فنولی به عنوان متابولیت‌های ثانویه غالب در گونه‌های انگور می‌تواند به عنوان نشانگرهای مفید در کمotaکسونومی *V. vinifera* استفاده شوند، زیرا ترکیبات آن‌ها در انگور تحت تأثیر عوامل ژنتیکی است (۲۷ و ۱۴). با توجه به ویژگی‌های بیولوژیک ارگانولپتیک (رنگ، گسی و تلخی)، فلاونول‌ها، استیلبن‌ها و آنتوسبیانین‌ها در انگور نقشی کلیدی در کیفیت آب میوه و عصاره آن بازی می‌کنند (۳۲ و ۲۵). رقم و سال رشد در مشخصات آنتوسبیانین‌ها و نیز در خصوصیات بیوشیمیایی (۳۳ و ۳۴) ارقام نقش دارند، اما بیشتر تحت تأثیر مشخصات ژنتیکی رقم و تا حدودی عملیات باگبانی قرار می‌گیرد (۳۶ و ۳۵).

غلظت فنول، فلاونوئید و آنتوسبیانین کل: نتایج تجزیه واریانس نشان داد که بین ارقام مورد بررسی از نظر غلظت فنول، فلاونوئید و آنتوسبیانین کل در سطح احتمال یک درصد اختلاف معنی‌دار وجود داشت. ارقام در مقدار آنتوسبیانین کل تفاوت بیشتری نشان دادند (P-value در جدول ۲ گزارش شده است). بیشترین مقدار فنول کل مربوط به ارقام کریمسون، رد گلوب و فلیم به ترتیب با ۹۴/۱۶، ۷۴/۱۳ و ۵۸/۱۳ میلی‌گرم اسید گالیک بر ۱۰۰ گرم بود (جدول ۲). در

اندازه‌گیری فنول، فلاونوئید و آنتوسبیانین کل: میزان فنول کل در گوشت میوه با روش فولین سیوکالتو و با کمک دستگاه اسپکتروفتومتر (Shimadzu UV-160) در طول موج ۷۶۰ نانومتر اندازه‌گیری شد و از اسید گالیک به عنوان استاندارد استفاده گردید (۱۷ و ۳۰). برای اندازه‌گیری فلاونوئید کل، از روش کالری‌متری آلومینیوم کلراید (۹) توسط دستگاه اسپکتروفتومتر در طول موج ۴۱۵ نانومتر استفاده شد. تعیین مقدار آنتوسبیانین کل به روش وانگر (۳۱) صورت گرفت و بر حسب میلی‌گرم در کیلوگرم وزن تر میوه بیان گردید.

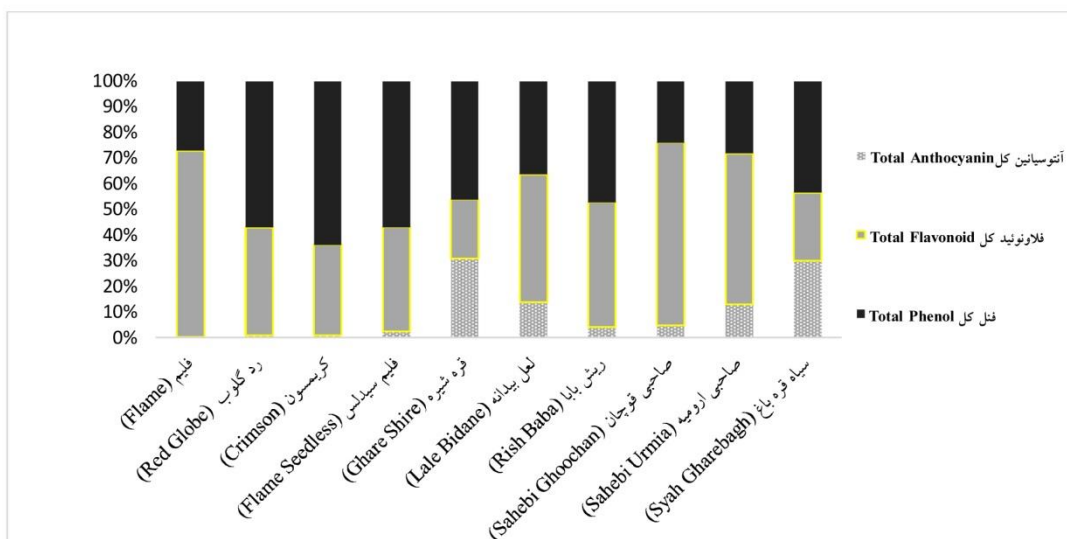
HPLC-DAD: اندازه‌گیری ترکیبات آنتوسبیانین با نمونه‌ها طبق روش کدرینا-اوکوتان (۳۲) آماده و تا زمان اندازه‌گیری در دمای ۲۰-۲۰ درجه سانتی‌گراد ذخیره شدند. از استاندارد مالویدین ۳-۱-۱- گلوکوزید، دلفینیدین ۳-۱- گلوکوزید و سیانیدین ۳-۱- گلوکوزید، از Extrasynthèse (جنای، فرانسه)، استفاده شد و در مجموع ۱۵ ترکیب آنتوسبیانین با روش HPLC-DAD در طول موج ۵۲۰ نانومتر شناسایی شد (جدول ۲). عصاره‌های پوست جبه با اسید فسفریک رقیق شده و با فیلتر (۰/۲۰ میکرومتر) در داخل وایال‌های ۱ میلی‌لیتری تزریق شدند. سپس نمونه‌ها در اتوسیمپلر HPLC قرار گرفته و آماده تزریق شدند. تجزیه و تحلیل کمی آنتوسبیانین‌ها توسط یک سری سیستم Agilent 1200 (Agilent، Waldbronn، آلمان)، مجهز به ردیاب (G1316A)، با تزریق ۲۰ میکرولیتر از نمونه‌ها انجام شد. آنتوسبیانین‌ها در طول موج ۵۲۰ نانومتر تشخیص داده شدند و نتایج به صورت میلی‌گرم معادل هر کیلوگرم جبه در وزن خشک گزارش شد.

تجزیه آماری: تجزیه واریانس همه صفات توسط نرمافزار IBM SPSS Ver. 26 و با استفاده از ANOVA یک‌طرفه انجام شد. بررسی همبستگی

نشان می‌دهد. آنتوکسیانین‌های مشتق شده از سیانیدین منجر به تولید رنگ قرمز و دلفینیدین منجر به ایجاد رنگ آبی در حبه‌ها می‌شوند (۳۶ و ۳۸). در دهه‌های اخیر، مطالعات بسیاری در مورد کنترل ژنتیکی رنگ حبه انگور در ارقام اروپایی، آمریکایی و آسیایی انجام شده است. ژن‌های متصل به DNA، برای چندین فاکتور رونویسی، از جمله ترکیبات هاپلوتیپ MYBA2 و MYBA1 در لوکوس مربوط به رنگ، تعیین‌کننده کلیدی تنوع آنتوکسیانین و توسعه رنگ در پوست حبه انگور هستند. هم‌چنان رتروترانسپوزون در ناحیه پرومومتر MYBA1 و جهش در توالی کدکننده MYBA2 منجر به رنگ سفید پوست شد؛ هاپلوتیپ‌های MYB بر نسبت آنتوکسیانین‌های تری‌دی هیدروکسیله و آنتوکسیانین‌های متیله/غیرمتیله از طریق تنظیم چندین ژن ساختاری دخیل در بیوسترن آنتوکسیانین تأثیر می‌گذارند که منجر به رنگ‌های متنوع می‌شود (۳۸).

صورتی که بیشترین مقدار فلاونوئید کل مربوط به رقم فلیم (۳۶/۴۷ میلی گرم بر ۱۰۰ گرم) و بیشترین مقدار آنتوکسیانین کل در رقم سیاه قره‌باغ، قره‌شیره و لعل بیدانه به ترتیب با ۶/۰۹ و ۳/۵۸ میلی گرم بر کیلوگرم مشاهده شد (جدول ۲). در بین ارقام مورد بررسی، کمترین میزان فنول کل در ژنوتیپ صاحبی قوچان با ۲/۸۸ میلی گرم اسید گالیک بر ۱۰۰ گرم، کمترین غلظت فلاونوئید کل در ژنوتیپ قره‌شیره با ۴/۵۶ میلی گرم بر ۱۰۰ گرم و همین‌طور کمترین میزان آنتوکسیانین کل در رقم فیلم با ۰/۲۳ میلی گرم بر کیلوگرم مشاهده شد (جدول ۲). همان‌طور که در بالا ذکر شد، بین میزان رنگ و آنتوکسیانین ارتباط وجود دارد. در یک مطالعه دیگر، در ژنوتیپ کابرنت ساوینیون و کابرنت گرنیشت با رنگ پوست بتفش تیره مقدار آنتوکسیانین بالاتری نسبت به رقم رد گلوب با رنگ پوست قرمز گزارش شده است (۳۷).

حبه انگور با توجه به مقدار و ترکیب آنتوکسیانین طیف گسترده‌ای از رنگ‌ها را از سبز/زرد تا آبی تیره



شکل ۱- پروفیل فنول، فلاونوئید و آنتوکسیانین کل در ارقام مورد بررسی.

Fig. 1. Profile of total phenol, flavonoid and anthocyanin in the studied cultivars.

جدول ۲- محتوای فنول، فلاونوئید و آنتوسبیانین کل در ارقام مورد بررسی.

Table 2. Content of total phenol, flavonoid and anthocyanin in the studied cultivars.

آنتوسبیانین کل Total anthocyanin mg kg ⁻¹	فلاونوئید کل Total Flavonoid mg 100g ⁻¹	فنول کل Total Phenol mg GAE 100 g ⁻¹	رنگ حبه Color	ژنوتیپ Genotype
P<0.001	P<0.001	P<0.001		P-value
0.23±0 ^f	36.47±0 ^a	13.58±0.06 ^b	قرمز Red	(Flame)
0.27±0 ^f	10.05±0.22 ^c	13.74±0.1 ^b	ارغوانی Rouge	(Red globe)
0.3±0 ^f	9.3±0.0 ^d	16.94±0 ^a	قرمز Red	(Crimson)
0.61±0 ^e	9.49±0 ^{cd}	13.34±0 ^b	قرمز Red	(Flame seedless)
6.09±0.09 ^b	4.56±0 ^h	9.14±0 ^c	سیاه Black	(Ghare shire)
3.58±0.01 ^c	12.85±0 ^b	9.34±0.2 ^c	سیاه Black	(Lale bidane)
0.73±0.01 ^e	8.25±0.01 ^f	8.04±0.05 ^d	ارغوانی Rouge	(Rish baba)
0.58±0.05 ^e	8.56±0.3 ^{ef}	2.88±0.13 ^f	قرمز Red	(Sahebi Ghoochan)
2.01±0.01 ^d	9.14±0.24 ^{de}	4.38±0.07 ^e	سیاه Black	(Sahebi urmia)
6.59±0.03 ^a	5.8±0.03 ^g	9.52±0.13 ^c	سیاه Black	(Syah Gharebagh)

در هر ستون، مقادیر با حروف یکسان تفاوت معنی دار ندارند

In each column, the values with the same letter don't have any significant differences

حداکثر مقدار خود می‌رسند (۲۶ و ۱۲). نتایج تجزیه واریانس نشان داد که ارقام مورد بررسی در اغلب فاکتورها در سطح احتمال یک درصد تفاوت معنی دار داشتند، ولی در مالویدین، پئونیدین، پئونیدین کوماریل گلوگوزاید، سیانیدین کوماریل گلوگوزاید، مالویدین کفوبیل گلوگوزاید، پتوئینیدین کوماریل گلوگوزاید و دلفینیدین-۳-کوماریل گلوگوزاید تفاوت معنی داری نشان ندادند (P-value در جدول ۳ گزارش شده است). در شکل ۲، پروفیل ترکیبات آنتوسبیانینی شناسایی شده آمده است.

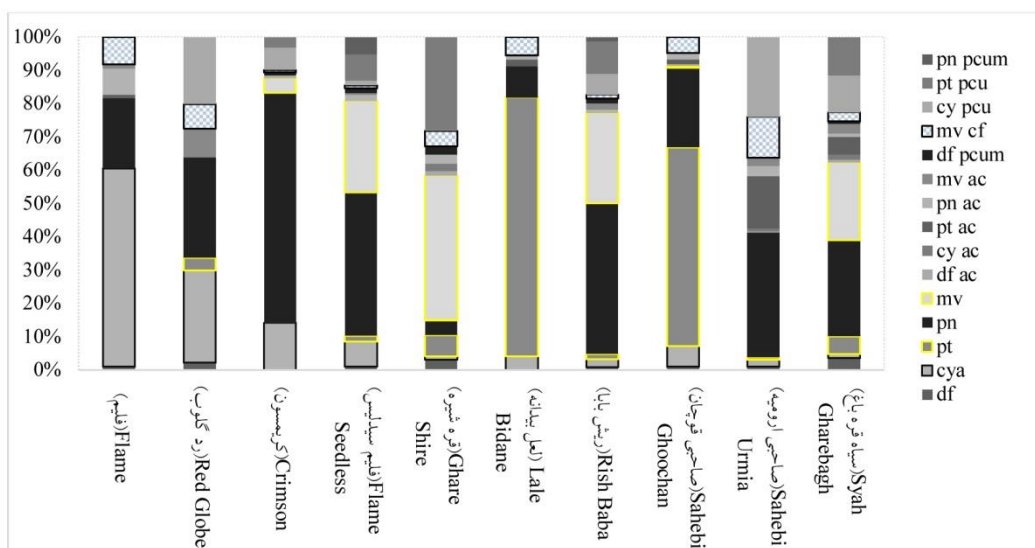
در مطالعه حاضر، فراوانی ترکیبات آنتوسبیانینی در ارقام مورد مطالعه عبارت بودند از: مونوگلوگوزیدهای دلفینیدین (۴۰ درصد)، سیانیدین (۳۰ درصد)، ترکیبات مزدوج مربوط به آنها، از جمله استیل، کوماروئیل و کفوئیل‌ها، دلفینیدین-۳-کوماریل گلوگوزاید (۴۰ درصد)، پتوئینیدین-۳-کوماریل گلوگوزاید (۴۰ درصد) و پئونیدین-۶-کوماریل گلوگوزاید (۲۰ درصد) که در ارقام کمتر مشاهده

بررسی کمیت و کیفیت ترکیبات آنتوسبیانینی: ترکیبات فنولی انگور، به ویژه آنتوسبیانین‌ها، به طور گسترده برای اهداف طبقه‌بندی استفاده می‌شوند (۳۹ و ۲۳). ترتیب شستشوی آنتوسبیانین‌ها در فاز معکوس به درجه قطبیت آن‌ها مرتبط است، به طوری که ترکیبات قطبی‌تر زودتر آشکار می‌شوند. قطبیت آنتوسبیانین‌ها به درجه هیدروکسیل شدن و متیلاسیون از حلقه بنزن وابسته بوده و با افزایش گروههای هیدروکسیلی قطبیت آن‌ها بیشتر می‌شود. اولین آنتوسبیانین شناسایی شده دلفینیدین بوده و به دنبال آن سیانیدین، پتوئینیدین، پئونیدین و مالویدین آشکار می‌شوند (۴۰). فهرست ۱۵ ترکیب آنتوسبیانینی شناسایی شده (پنج مونوگلوگوزید آنتوسبیانین و مشتقات آن‌ها)، به ترتیب زمان بازداری در جدول ۳ آمده است. آنتوسبیانین‌ها در ارقام رنگی انگور در مرحله رنگ‌گیری حبه ظاهر می‌شوند و سپس به تدریج در طول رشد تا مرحله بلوغ و رسیدن انباسته شده و در صورت مناسب بودن شرایط محیطی به

قوچان و لعل بیدانه نشان داد و همچنین ترکیب غالب آنتوسیانینی در ارقام ذکر شده بود. در شکل ۳، کروماتوگرام خروجی HPLC-DAD برای دو رقم قره‌شیره و کریمسون نمایش داده شده است.

محتوای کل آنتوسیانین در گونه‌های وحشی بیشتر از هیریدهای بین‌گونه‌ای گزارش شده است. در انگورهای مختص فرآوری (کابرنت ساوینیون و مارلو) نسبت به انگورهای تازه‌خوری در همان گونه‌ها، مقدار پلی‌فنول‌ها بالاتر و در نتیجه فعالیت آنتی‌اکسیدانی بیشتری وجود داشت (۳۷). مشتقان مالویدین در انگور غالب هستند (۱۴) و مشتقان پئونیدین نیز از فراوان‌ترین آنتوسیانین‌ها در اکثر انگورهای تازه‌خوری و فرآوری گزارش شده‌اند (۱۷). با توجه به تحلیل‌های انجام شده در این پژوهش، مالویدین و پئونیدین از نظر میزان غلظت غالب هستند. بیشترین مقدار آنتوسیانین در رقم فلیم، سیانیدین با ۲۶/۹، در لعل بیدانه، پئونیدین با ۲۶/۳۶ و در کریمسون، پئونیدین با ۵/۰۹ میلی‌گرم بر کیلوگرم وزن خشک دیده شد.

شدند. ترکیب پلارگونیدین و مشتقان آن شناسایی نشدند، اگرچه وجود آن‌ها در محصولات فرآوری شده انگور توسط نویسنده‌گان دیگر گزارش شده است (۱۷) و نیز در انگور تازه‌خوری بی‌ار.آس- ویتوریا، از ارقام جدید هیریدی (Vitis sp.) به مقدار جزئی (۳۳) و همچنین در *V. rotundifolia* و *V. labrusca* (۱۷)، گزارش شده‌اند. مشتقان مالویدین (کفوپیل گلوكوزاید) و نیز پئونیدین و سیانیدین در ۱۰۰ درصد نمونه‌ها وجود داشت. غلظت مالویدین در ژنوتیپ فیلم و رد گلوب در حد جزیی بود و در صاحبی ارومیه شناسایی نشد (جدول ۳). پئونیدین و مالویدین بالاترین غلظت را در بین ۵۴/۰۸ و ۴۴/۲۶ میلی‌گرم بر کیلوگرم وزن خشک در رقم سیاه قره‌باغ نشان دادند (جدول ۳ و شکل ۲). دو ترکیب پئونیدین (کافتوپیل و استیل) در انواع عصاره و آب‌میوه‌ها شناسایی شده‌اند، اما در انگورهای تازه‌خوری کمتر گزارش شده‌اند. ترکیب پئونیدین بیشترین میزان را با ۲۶/۳۶ و ۲۴/۶۶ میلی‌گرم بر کیلوگرم وزن خشک، به ترتیب در رقم صاحبی



شکل ۲- پروفیل ترکیبات متفاوت آنتوسیانینی در ژنوتیپ‌های مورد بررسی.

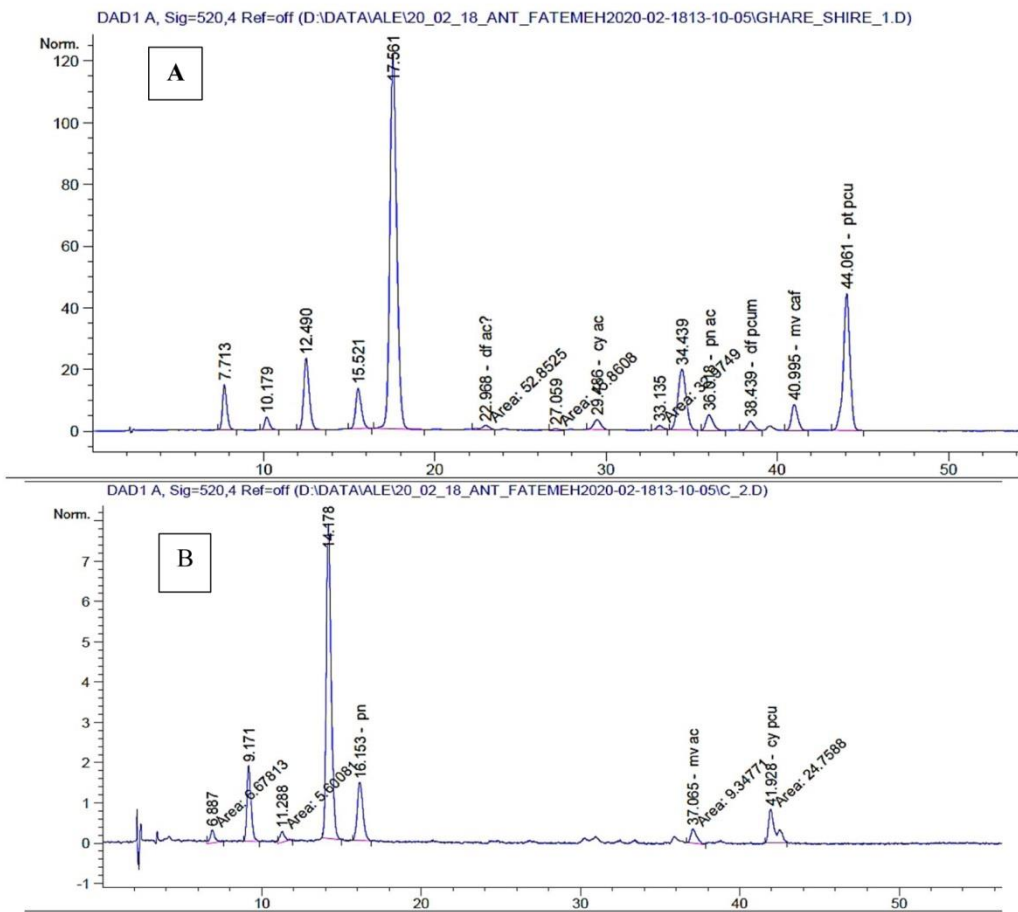
Fig. 2. Profile of different anthocyanin individual compounds in the studied cultivars.

جدول ۳- ترکیبات آنتوسبیانینی شناسایی شده با در پوست جبه ارقام مشاروت انگور.

Table 3. Average contents of anthocyanin compounds identified by HPLC-DAD in the skins of different grape Cultivars.

سیاه گربه Syah Gharebagh	صایحی زردی Sahebi Urum	صایحی قریان Sahebi Ghoochan	ریش بابا Rish Baba	لعل بیان Lale Bidane	قرمزی Ghare Shire	کربوسون Flame Seedless	فلام Crimson	رد گلوب Red Globe	فلام Flame	P-value	Abbreviation code	زمان انتشاری Retention time	ترکیبات آنتوسبیانینی Anthocyanin compounds
7.02±3.64 ^a	1.05±0.2 ^{ab}	0.42±0.22 ^b	0.47±0.13 ^b	0±0 ^b	3.17±1.29 ^{ab}	0.65±0.06 ^b	0±0 ^b	0.04±0.04 ^b	0.16±0.16 ^b	P=0.01	df	7.5	Delphinidin
2.02±1.01 ^b	2.46±0.37 ^b	2.58±0.09 ^b	1.45±0.29 ^b	1.42±0.33 ^b	0.93±0.4 ^b	4.78±1.02 ^{ab}	1.03±0.63 ^b	0.54±0.12 ^b	9.26±3.38 ^a	P<0.001	cya	10.22	Cyanidin
10.11±5.63 ^{ab}	0.67±0.67 ^b	24.66±11.87 ^a	0.86±0.21 ^b	26.36±4.09 ^a	6.27±2.85 ^{ab}	1.1±0.16 ^b	0±0 ^b	0.08±0.04 ^b	0±0 ^b	P<0.001	pt	12.29	Petunidin
54.08±48.59 ^a	40.13±4.79 ^a	9.86±2.88 ^a	26.26±4.97 ^a	3.14±0.62 ^a	4.44±1.18 ^a	27.32±12.27 ^a	5.01±3.15 ^a	0.58±0.18 ^a	3.29±1.19 ^a	P=0.28	pn	15.28	Peonidin
44.26±44.26 ^a	0±0 ^a	0.25±0.25 ^a	15.68±2.75 ^a	0±0 ^a	42.78±18.39	17.31±8.24 ^a	0.32±0.32 ^a	tr	tr	P=0.27	mv	17.4	Malvidin
1.54±0.77 ^a	0.44±0.07 ^{abc}	0.21±0.21 ^b	0±0 ^c	0±0 ^c	1.38±0.12 ^{ab}	0±0 ^c	0±0 ^c	0±0 ^c	0±0 ^c	P<0.001	df.ac	18.74	Delphinidin 6-Acetyl-Glucoside
2.79±1.4 ^a	0.74±0.11 ^{ab}	0±0 ^b	0±0 ^b	2.17±0.08 ^{ab}	0±0 ^b	0±0 ^b	0±0 ^b	0±0 ^b	0±0 ^b	P<0.001	cy.ac	23.15	Cyanidin 6-Acetyl-Glucoside
10.06±10.06 ^{ab}	16.94±1.6 ^a	0.56±0.38 ^b	0±0 ^b	0.73±0.01 ^b	0±0 ^b	0±0 ^b	0±0 ^b	0±0 ^b	0.16±0.16 ^b	P=0.01	pt.ac	28.9	Petunidin 6-Acetyl-Glucoside
1.66±0.94 ^{abc}	3.38±0.17 ^a	0.78±0.09 ^b	0.58±0.09 ^c	0.31±0.05 ^c	2.67±0.38 ^{ab}	1.15±0.29 ^{bc}	0.06±0.06 ^c	0±0 ^c	1.2±0.64 ^{pn}	P<0.001	pn.ac	32.79	Malvidin 6-Acetyl-Glucoside
5.39±2.88 ^a	2.53±0.15 ^{ab}	0±0 ^b	1.02±0.3 ^{ab}	0.08±0.08 ^b	0±0 ^b	0.34±0.34 ^b	0±0 ^b	0.17±0.03 ^b	0.21±0.21 ^b	P=0.01	mv.ac	35.70	Delphinidin 3-Comaryl Glucoside
1.5±1.5 ^a	0±0 ^a	0±0 ^a	0.86±0.21 ^a	0±0 ^a	2.38±0.44 ^a	1±0.32 ^a	0.06±0.06 ^a	0±0 ^a	0±0 ^a	P=0.3	df.pcum	38.45	Cyanidin 3-Comaryl Glucoside
5.16±3.45 ^a	13.33±12.05 ^a	2±0.78 ^a	0.68±0.16 ^a	1.88±0.28 ^a	4.74±0.93 ^a	0.49±0.25 ^a	0.06±0.06 ^a	0.14±0.14 ^a	1.27±0.4 ^a	P=0.45	mv.cf	39.43	Malvidin 3-Comaryl Glucoside
20.75±20.75 ^a	25.65±12.93 ^a	0±0 ^a	3.69±1.84 ^a	0±0 ^a	0.1±0.1 ^a	0.89±0.45 ^a	0.48±0.48 ^a	0.39±0.19 ^a	0±0 ^a	P=0.2	cy.peu	41	Cyanidin -3-Comaryl Glucoside
21.68±21.68 ^a	0±0 ^a	0±0 ^a	5.53±1.42 ^a	0±0 ^a	27.52±4.52 ^a	4.96±2.91 ^a	0.23±0.23 ^a	0±0 ^a	0±0 ^a	P=0.09	pt.peu	43.83	Petunidin -3-Comaryl Glucoside
0±0 ^a	0±0 ^a	0±0 ^a	0.81±0.81 ^a	0±0 ^a	0±0 ^a	3.31±2.31 ^a	0±0 ^a	0±0 ^a	0±0 ^a	P=0.51	pn.pcum	44.38	Peonidin 6-Comaryl Glucoside
188.03	107.32	41.31	57.89	33.93	98.55	63.30	7.256	1.93	15.5				مجموع آنتوسبیانینها Sum anthocyanins

مقادیر به صورت میلی گرم بر کیلوگرم وزن خشک جبه انگور (پرست) بیان شده‌اند. انحراف معیار در پرترکاراش شده است (n=3). "tr" means the value is reported in parentheses (n =3). "tr" means the value is trace. In each row, the values with the same letter don't have any significant differences



شکل ۳- کروماتوگرام ($\lambda=520$) ترکیبات آنتوسیانینی پوست حبه در دو ژنوتیپ قره شیره (A) و کریمسون (B) با استفاده از HPLC-DAD

Fig. 3. Chromatogram ($\lambda=520$) of “Ghare Shire” (A) and “Crimson” (B) grape skin using HPLC-DAD.

آنتیاکسیدانی را افزایش دهند (۲۰). با توجه به این که اشکال گلیکوزیله و استیله مالویدین و پئونیدین در برخی از انگورهای تازه‌خوری نسبتاً فراوان هستند، احتمال این که این ژنوتیپ‌ها بتوانند منبع خوبی از نظر ترکیبات آنتیاکسیدانی باشند زیاد است. گزارش شده است که حضور آنتوسیانین و غلظت آن در حبه‌ها ارتباط زیادی با اثرات مثبت آن‌ها در سلامت انسان، از جمله عوامل خطرناک قلبی-عروقی، دارد (۵ و ۴۱). همبستگی ترکیبات آنتوسیانینی: طبق نتایج، بیشترین همبستگی مثبت و معنی‌دار را دلفینیدین-۶-استیل‌گلوکوزاید با سیانیدین-۶-استیل‌گلوکوزاید (۹۰٪)، پئونیدین-۶-استیل‌گلوکوزاید با سیانیدین-

مشخص شده است که الگوی آنتوسیانین نه تنها بر رنگ انگور، بلکه بر پتانسیل آنتیاکسیدانی آن نیز تأثیر می‌گذارد. برای نمونه، وجود مالویدین و پئونیدین به عنوان عامل مثبت در نظر گرفته می‌شود، زیرا ساختار شیمیابی آن‌ها شامل گروه‌های هیدروکسیل (مانند سایر آنتوسیانیدین‌ها) بوده و در برابر اکسیداسیون مقاومت بالاتری داشته و در نتیجه در پایداری زیاد آن‌ها نقش دارند (۳۱). آسیلاسیون در موقعیت C6 مولکول گلوکز، با استری کردن توسط اسیدهای استیک، p-کوماریک و کافئیک رخ می‌دهد (۹) و همچنین به نظر می‌رسد که گلیکوزیل‌اسیون و استیلاسیون آنتوسیانیدین‌ها می‌توانند فعالیت

در برخی منابع به طور مفصل بررسی شده است (۱۰، ۴۲ و ۴۳). گزارش شده است که در ارقام سیب زمینی یک همبستگی مثبت و قوی بین دو آنتوسیانین دلفینیدین ۳-p-کوماروئیل روتینوزید-۵-گلوکوزید و پتونیدین ۳-p-کوماروئیل روتینوزید-۵-گلوکوزید وجود دارد (۱۰).

۳- کوماریل گلوکوزاید ($t=0.97$) و همچنین مالویدین با پتونیدین ۳- کوماریل گلوکوزاید ($t=0.97$) نشان دادند (جدول ۴). همچنین، مالویدین همبستگی بالایی با دلفینیدین و پتونیدین-۶-استیل گلوکوزاید نشان داد. بررسی همبستگی بین ترکیبات پلی فنولی مختلف و آنتوسیانینی در سیب زمینی، مرکبات و آراییدوپسیس

جدول ۴- ضرایب همبستگی (پیرسون) صفات آنتوسیانینی اندازه گیری شده در ارقام مورد مطالعه.

Table 4. Correlation coefficients (Pearson) between measured traits in studied cultivars.

	df	cya	pt	pn	mv	df ac	cy ac	pt ac	pn ac	mv ac	df pcum	mv cf	cy pcu	pt pcu
df	1													
cya	-0.158	1												
pt	0.058	-0.206	1											
pn	0.659*	-0.033	-0.140	1										
mv	0.862**	-0.198	-0.055	0.459	1									
df ac	0.925**	-0.243	0.084	0.469	0.872**	1								
cy ac	0.951**	-0.228	0.024	0.522	0.879**	0.991**	1							
pt ac	0.442	-0.068	-0.098	0.754*	0.109	0.409	0.444	1						
pn ac	0.444	0.111	-0.171	0.491	0.416	0.611	0.592	0.702*	1					
mv ac	0.822**	-0.083	-0.054	0.897**	0.511	0.632*	.696*	0.759*	0.416	1				
df pcum	0.694*	-0.204	-0.113	0.293	0.959**	0.780**	0.770**	-0.032	0.435	0.279	1			
mv cf	0.349	-0.084	-0.047	0.558	0.141	0.463	0.462	0.916**	0.879**	0.533	0.093	1		
cy pcu	0.560	-0.097	-0.148	0.853**	0.239	0.478	0.526	0.978**	0.655*	.865**	0.074	0.848**	1	
pt pcu	0.827**	-0.240	-0.019	0.315	0.973**	0.914**	0.905**	0.089	0.469	0.415	0.957**	0.190	0.190	1
pn pcum	-0.134	0.246	-0.252	0.228	0.120	-0.260	-0.238	-0.212	-0.055	-0.126	0.205	-0.263	-0.170	-0.040

* و ** به ترتیب معنی دار در سطح احتمال ۵ و ۱ درصد

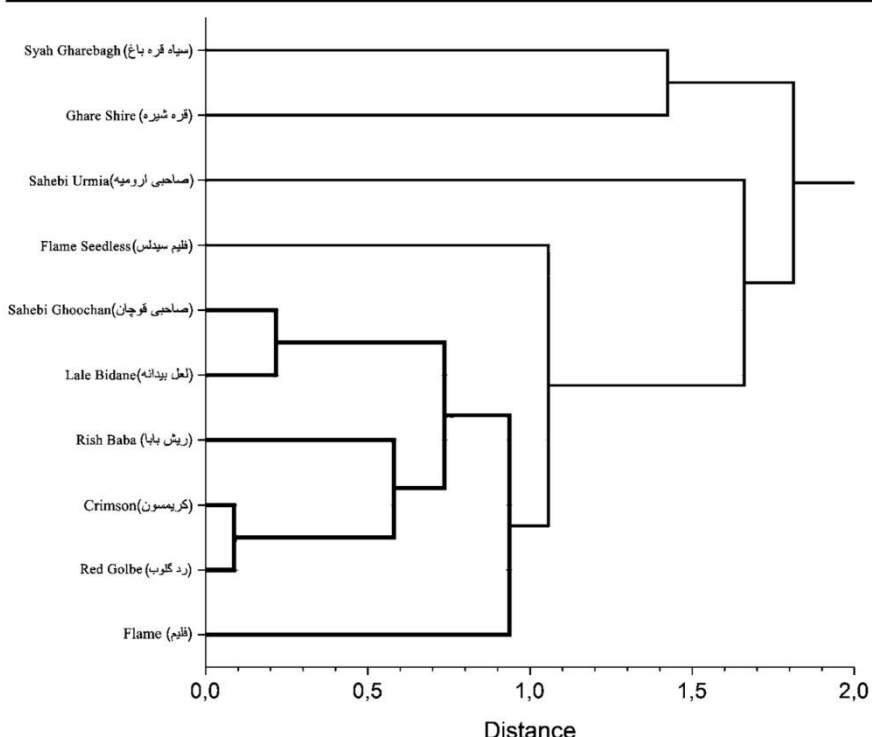
* and ** Correlation is significant at the 0.05 and 0.01 levels, respectively

صاحبی قوچان با لعل بیدانه بودند. این تحلیل برای درک بهتر رابطه بین تنوع و غلظت آنتوسیانین در ارقام انگور انجام شد (شکل ۵ و جدول ۵)، سه جزء اصلی اول (PC 1-3)، ۸۸/۸۴ درصد از کل واریانس را تبیین کردند. این تجزیه نشان داد که می توان انواع انگور را بر اساس غلظت های آنتوسیانین مفرد شناسایی کرد. در PC1، اکثر متغیرهای آنتوسیانینی

تجزیه خوشهای و تجزیه و تحلیل مؤلفه (PCA) با توجه به دندروگرام UPGMA حاصل از تجزیه خوشهای (شکل ۴)، ۱۰ ژنوتیپ رنگی مورد مطالعه در صفات آنتوسیانینی به دو گروه اصلی تقسیم شدند. گروه اول شامل دو رقم سیاه قره باغ و قره شیره بود که با فاصله دورتری از هشت رقم دیگر قرار گرفتند. نزدیک ترین ژنوتیپ ها کریمسون با رد گلوب و

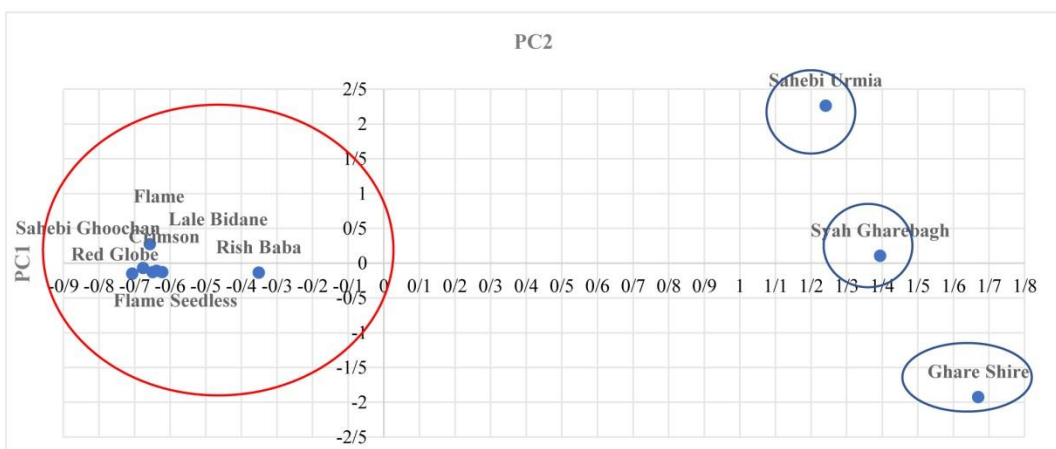
نمونه برداری شده بودند، اما بر اساس تجزیه خوش‌های و تجزیه به مؤلفه‌ها در گروه‌های متفاوتی تفکیک نشدند، اما در مورد دو رقم صاحبی قوچان و ارومیه فاصله و تفاوت وجود داشت. با توجه به این‌که این دو رقم تفاوت‌های مورفو‌لوزیکی در ویژگی رنگ حبه و برگ داشتند (نتایج ارائه نشده است)، بدون انجام تجزیه مولکولی نمی‌توان از یکسان بودن آن‌ها اطمینان حاصل کرد. بر روی پایگاه داده اطلاعات Vitis International Variety Catalogue دو رقم متفاوت با نام صاحبی با رنگ پوست حبه متفاوت و نیز تمایز در طول آلل‌ها ناشی از تجزیه SSR ثبت شده است. نتایج مطالعه حاضر در مورد ترکیبات آنتوسیانینی ارقام مرغوب در نقاط مختلف ایران در زمان برداشت با درجه بریکس بین ۱۹ تا ۲۲ اطلاعات مفیدی حاصل کرده است.

به جز سیانیدین، پتونیدین و پئونیدین کوماریل گلوکوزاید در ۱۰ ژنوتیپ مورد مطالعه رابطه مشت و بالاتر از حد ۰/۵۵۵ نشان دادند (جدول ۵). در شکل و جدول ۵، ژنوتیپ‌ها در چهار گروه قرار گرفته و در محور PC2 ژنوتیپ قره‌شیره رابطه منفی و بالایی (۰/۶۸۶) در میزان دلفینیدین -۳-کوماریل گلوکوزاید (۲/۸۲) میلی‌گرم بر کیلوگرم وزن خشک) نشان داد. در نتیجه، آنتوسیانین‌ها می‌توانند نشانگرهای مفیدی برای تشخیص انواع انگور در نظر گرفته شوند. از طرفی استفاده از این ابزار طبقه‌بندی بهتر است با احتیاط صورت گیرد، زیرا غلط آنتوسیانین نه تنها تحت تأثیر عوامل ژنتیکی است، بلکه عواملی مانند عملیات زراعی، بلوغ، مرحله رسیدن، آب و هوا و سطح تنفس نیز در مقدار و حضور آن‌ها مؤثر هستند (۳۶). ده ژنوتیپ مورد بررسی از سه مکان جغرافیایی متفاوت



شکل ۴- دندروگرام UPGMA ترکیبات متفاوت آنتوسیانینی در ژنوتیپ‌های مورد بررسی.

Fig. 4. Dendrogram of different anthocyanin compounds in the studied cultivars.



شکل ۵- توزیع ۱۰ ژنوتیپ بررسی شده برای دو جزء اصلی (PC1 و PC2) حاصل از PCA بر مبنای داده های HPLC-DAD.

Fig. 5. Distributions of the 10 grape cultivars in the two-dimensional space of principle component PC1 and PC2 of PCA based on HPLC-DAD.

جدول ۵- تجزیه PCA صفات آنتوسبیانینی ۱۰ ژنوتیپ انگور.

Table 5. PCA analysis on anthocyanin traits of 10 grapevine cultivars.

	PC 1	PC 2	PC3
df	0.889**	-0.278	0.042
cya	0.060	0.598**	-0.041
pt	-0.034	-0.226	-0.760**
pn	0.663**	0.628**	0.213
mv	0.752**	-0.642**	0.126
df ac	0.915**	-0.384	-0.058
cy ac	0.931**	-0.345	-0.034
pt ac	0.598**	0.789**	-0.059
pn ac	0.863**	0.194	-0.066
mv ac	0.665**	0.552**	0.109
df pcum	0.691**	-0.686**	0.123
mv cf	0.717**	0.555**	-0.155
cy pcu	0.637**	0.760**	0.029
pt pcu	0.743**	-0.658**	0.041
pn pcum	-0.269	-0.060	0.798**
Eigenvalues	7.071	4.318	1.344
Total variance (Cumulative %)	47.141	75.924	84.887

قره‌شیره بیشترین آنتوکسیانین کل و پئونیدین را نشان داده و در تجزیه‌های مربوط به طبقه‌بندی (تجزیه خوش‌های و PCA) با فاصله از سایر ارقام و در گروه‌های مجازای قرار گرفتند. به علت کاربردهای گسترده و رو به رشد این ترکیبات در صنایع نساجی، دارویی، بهداشتی، آرایشی و غذایی، مطالعات بیشتری در مورد ویژگی‌های آنتوکسیانینی و در کل ترکیبات فلاونوئیدی در ژنوتیپ‌های مختلف انگور در مناطق مختلف ضروری است (۴۱).

نتیجه‌گیری کلی

در این مطالعه، در مجموع پانزده مونوگلوكوزید آنتوکسیانین و ترکیبات مشتق شده آن‌ها در ۱۰ رقم بررسی شد. ارقام مورد مطالعه از نظر ترکیبات منفرد آنتوکسیانینی و نیز میزان فنول، فلاونوئید و آنتوکسیانین کل تفاوت‌های معنی‌داری نشان دادند. ترکیب پئونیدین و مالوئیدین و ترکیبات استری و استیلی آن‌ها در ژنوتیپ‌ها بیشترین غلظت را نشان دادند. بر اساس تجزیه خوش‌های و PCA، ژنوتیپ‌ها در گروه‌های متفاوتی تفکیک شدند. ارقام سیاه قره‌باغ و

منابع

- Manach, C., Scalbert, A., Morand, C., Rémesy, C. and Jiménez, L. 2004. Polyphenols: food sources and bioavailability. *Am. J. Clin. Nutr.* 79: 727-747.
- Ali, K., Maltese, F., Choi, Y.H. and Verpoorte, R. 2010. Metabolic constituents of grapevine and grape-derived products. *Phytochem. Rev.* 9: 357-378.
- Archivio, D., Filesi, M., Di Benedetto, C., Gargiulo, R., Giovannini, R. and Masella, C.R. 2007. Polyphenols, Dietary Sources and Bioavailability. *Ann. Ist. Super. Sanita*, 43: 348.
- Abbas, M., Saeed, F., Anjum, F.M., Afzaal, M., Tufail, T., Bashir, M.S., Ishtiaq, A., Hussain, S. and Suleria, H.A.R. 2017. Natural polyphenols: An overview. *Int. J. Food Prop.* 20: 8. 1689-1699.
- Hooper, L., Kroon, P.A., Rimm, E.B., Cohn, J.S., Harvey, I., Le Cornu, K.A., Ryder, J.J., Hall, W.L. and Cassidy, A. 2008. Flavonoids, Flavonoid-Rich Foods, and Cardiovascular Risk: A Meta-Analysis of Randomized Controlled Trials. *Am. J. Clin. Nutr.* 88: 38-50.
- Radovanović, B.C., Andelković, S.M., Radovanović, A.B. and Andelković, M.Z. 2013. Antioxidant and antimicrobial activity of polyphenol extracts from wild berry fruits grown in southeast Serbia. *Trop. J. Pharm. Res.* 12: 5. 813-819.
- Turkmen, F.U., Takci, H.A.M. and Sekeroglu, N. 2017. Total phenolic and flavonoid contents, antioxidant and antimicrobial activities of traditional unripe grape products. *Indian J. Pharm. Educ. Res.* 51: 489-493.
- Tagliazucchi, D., Verzelloni, E., Bertolini, D. and Conte, A. 2010. *In vitro* bio-accessibility and antioxidant activity of grape polyphenols. *Food Chem.* 120: 2. 599-606.
- Goufo, P., Singh, R.K. and Cortez, I. 2020. A Reference List of Phenolic Compounds (Including Stilbenes) in Grapevine (*Vitis vinifera* L.) Roots, Woods, Canes, Stems, and Leaves. *Antioxidants*, 9: 5. 398.
- Oertel, A., Matros, A., Hartmann, A., Arapitsas, P., Dehmer, K.J., Martens, S. and Mock, H.P. 2017. Metabolite profiling of red and blue potatoes revealed cultivar and tissue specific patterns for anthocyanins and other polyphenols. *Planta*, 246: 2. 281-297.
- Zhu, L., Zhang, Y. and Lu, J. 2012. Phenolic contents and compositions in skins of red wine grape cultivars among various genetic backgrounds and originations. *Int. J. Mol. Sci.* 13: 3. 3492-3510.
- Shahab, M., Roberto, S. R., Ahmed, S., Colombo, R.C., Silvestre, J.P., Koyama, R. and De Souza, R.T. 2020.

- Relationship between anthocyanins and skin color of table grapes treated with abscisic acid at different stages of berry ripening. *Sci. Hort.* 259: 108859.
13. Downey, M.O., Dokoozlian, N.K. and Krstic, M.P. 2006. Cultural practice and environmental impacts on the flavonoid composition of grapes and wine: a review of recent research. *Am. J. Enol. Vitic.* 57: 3. 257-268.
 14. Gervasi, T., Oliveri, F., Gottuso, V., Squadrato, M., Bartolomeo, G., Cicero, N. and Dugo, G. 2016. Nero d'Avola and Perricone cultivars: determination of polyphenols, flavonoids and anthocyanins in grapes and wines. *Nat. Prod. Res.* 30: 20. 2329-2337.
 15. Carreno, J. and Martinez, A. 1995. Proposal of an index for objective evaluation of the color of red table grapes. *Food Res. Int.* 28: 373-377.
 16. Cooper-Driver, G.A. 2001. Contributions of Jeffrey Harborne and co-workers to the study of anthocyanins. *Phytochem.* 56: 229-236.
 17. Zhang, Q., Zhang, J., Shen, J., Silva, A., Dennis, D.A. and Barrow, C.J. 2006. A simple 96-well microplate method for estimation of total polyphenol content in seaweeds. *J. Appl. Phycol.* 18: 3. 445-450.
 18. Pomar, F., Novo, M. and Masa, A. 2005. Varietal differences among the anthocyanin profiles of 50 red table grape cultivars studied by high performance liquid chromatography. *J. Chromatogr. A.* 1094: 34-41.
 19. Stevenson, D. and Scalzo, J. 2012. Anthocyanin composition and content of blueberries from 730 around the world. *J. Berry Res.* 2: 179-189.
 20. Fong, R.A., Webb, A.D. and Kepner, R.E. 1974. Acylatedanthocyanins in a hybrid *Vitis* variety. *Phytochem.* 13: 6. 1001-1004.
 21. Morais, H., Ramos, C., Forgacs, E., Cserhati, T. and Oliera, J. 2002. Influence of storage conditions on the stability of monomeric anthocyanins studied by reversed phase high performance liquid chromatography. *J. Chromatog. B.* 770: 297-301.
 22. Rusjan, D., Korosec-Koruza, Z. and Veberic, R. 2008. Primary and secondary metabolites related to the quality potential of table grape varieties (*Vitis vinifera* L.). *Eur. J. Hort. Sci.* 73: 3. 124.
 23. Castillo-Muñoz, N., Gómez-Alonso, S., García-Romero, E. and Hermosín-Gutiérrez, I. 2010. Flavonol profiles of *Vitis vinifera* white grape cultivars. *J. Food Compos. Anal.* 23: 7. 699-705.
 24. Pinasseau, L., Verbaere, A., Roques, M., Meudec, E., Vallverdú-Queralt, A., Terrier, N., Boulet, J.C., Cheynier, V. and Sommerer, N. 2016. A fast and robust UHPLC-MRM-MS method to characterize and quantify grape skin tannins after chemical depolymerization. *Molecules.* 21: 10. 1409.
 25. Cantos, E., Espin, J.C. and Tomás-Barberán, F.A. 2002. Varietal differences among the polyphenol profiles of seven table grape cultivars studied by LC- DAD- MS- MS. *J. Agric. Food Chem.* 50: 20. 5691-5696.
 26. Flamini, R., Mattivi, F., Rosso, M.D., Arapitsas, P. and Bavaresco, L. 2013. Advanced knowledge of three important classes of grape phenolics: anthocyanins, stilbenes and flavonols. *Int. J. Mol. Sci.* 14: 10. 19651-19669.
 27. Doulaty Baneh, H., Grassi, F., Mohammadi, A., Nazemieh, A., De Mattia, F., Imazio, S. and Labra, M., 2007. The use of AFLP and morphological markers to study Iranian grapevine germplasm to avoid genetic erosion. *J. Hort. Sci. Biotechnol.* 82: 5. 745-752.
 28. Najafi, J., Alipanah, L., Ghareyazie, B., Mohammadi, S.A., Hagh Nazari, A. and This, P. 2006. Genetic diversity of Iranian and some of European grapes revealed by microsatellite markers. *Iran. J. Biotech.* 4: 36-44.
 29. FAO (Food and Agriculture Organization of the United Nations). 2018. FAOSTAT statistical database. FAO, Rome, Italy.
 30. Slinkard, K. and Singleton, V.L. 1977. Total phenol analysis: automation and comparison with manual methods. *Am. J. Enol. Vitic.* 28: 1. 49-55.

31. Wagner, G.J. 1979. Content and vacuole/extravacuole distribution of neutral sugars, free amino acids, and anthocyanin in protoplasts. *Plant physiol.* 64: 1. 88-93.
32. Kedrina-Okutan, O., Novello, V., Hoffmann, T., Hadersdorfer, J., Occhipinti, A., Schwab, W. and Ferrandino, A. 2018. Constitutive polyphenols in blades and veins of grapevine (*Vitis vinifera* L.) healthy leaves. *J. Agric. Food Chem.* 66: 42. 10977-10990.
33. Colombo, R.C., Roberto, S.R., da Cruz, M.A., de Carvalho, D.U., Yamamoto, L.Y., Nixdorf, S.L. and Hermosin-Gutierrez, I. 2021. Characterization of the phenolic ripening development of 'BRS Vitoria' seedless table grapes using HPLC-DAD-ESI-MS/MS. *J. Food Compos. Anal.* 95: 103693.
34. Mazza, G. and Brouillard, R. 1987. Recent developments in the stabilization of anthocyanins in food products. *Food Chem.* 25: 3. 207-225.
35. Spinardi, A., Cola, G., Gardana, C.S. and Mignani, I. 2019. Variation of anthocyanin content and profile throughout fruit development and ripening of highbush blueberry cultivars grown at two different altitudes. *Front. Plant Sci.* 1045.
36. Pejman Mehr, M., Ebadi, A., Mousavi, A., Walker, A.R. and Rahimi, A. 2015. A quantitative and qualitative study of anthocyanins and flavonols in the skin of several grape cultivars using high performance liquid chromatography (HPLC). *Quar. J. Med. Plants.* 4: 56. 123-137. (In Persian)
37. Du, B., He, B.J., Shi, P.B., Li, F.Y., Li, J. and Zhu, M. 2012. Phenolic content and antioxidant activity of wine grapes and table grapes. *J. Med. Plant Res.* 6: 17. 3381-3387.
38. Fang, J., Jogaiah, S., Guan, L., Sun, X. and Abdelrahman, M. 2018. Coloring biology in grape skin: a prospective strategy for molecular farming. *Physiologia plantarum*, 164: 4. 429-441.
39. Mattivi, F., Guzzon, R., Vrhovsek, U., Stefanini, M. and Velasco, R. 2006. Metabolite profiling of grape: flavonols and anthocyanins. *J. Agric. Food Chem.* 54: 20. 7692-7702.
40. Cacho, J., Fernandez, P., Ferreira, V. and Castells, J.E. 1992. Evolution of five anthocyanidin-3-glucosides in the skin of the Tempranillo, Moristel, and Garnacha grape varieties and influence of climatological variables. *Am. J. Enol. Vitic.* 43: 244-248.
41. Albuquerque, B.R., Heleno, S.A., Oliveira, M.B.P., Barros, L. and Ferreira, I.C. 2021. Phenolic compounds: Current industrial applications, limitations and future challenges. *Food Func.* 12: 1. 14-29.
42. Protaggente, A.R., Saija, A., De Pasquale, A. and Rice-Evans, C.A. 2003. The compositional characterisation and antioxidant activity of fresh juices from sicilian sweet orange (*Citrus sinensis* L. Osbeck) varieties. *Free Radic. Res.* 37: 6. 681-687.
43. Schulz, E., Tohge, T., Zuther, E., Fernie, A.R. and Hincha, D.K. 2015. Natural variation in flavonol and anthocyanin metabolism during cold acclimation in *Arabidopsis thaliana* accessions. *Plant, Cell Environ.* 38: 8. 1658-1672.